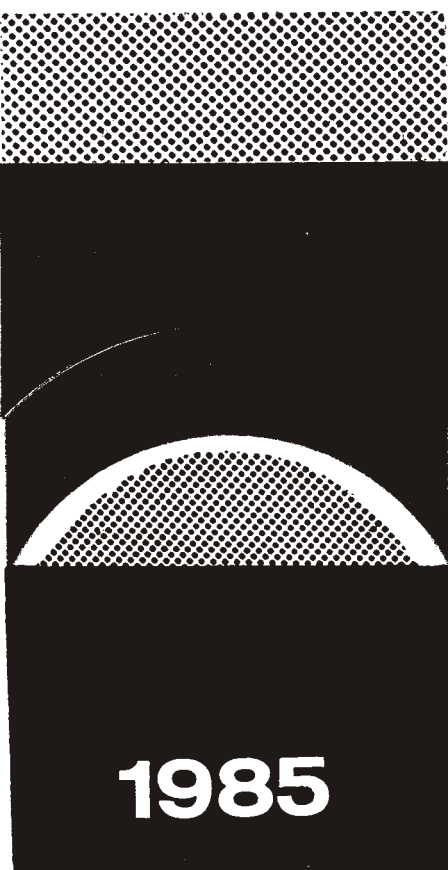


ISSN 0136—1732

# АДГЕЗИЯ РАСПЛАВОВ И ПАЙКА МАТЕРИАЛОВ



15

Влияние различных добавок на значения поверхностного натяжения оксидного расплава, образующегося при сварке электродами ЦМ-9, показано на рис. 1. Наиболее интенсивно увеличивают поверхностное натяжение оксидного расплава на основе диоксида титана добавки оксидов редкоземельных металлов, а добавки  $\text{CaF}_2$  и  $\text{Na}_2\text{B}_4\text{O}_7$ , уменьшают его. Добавки оксидов титана практически не изменяют поверхностного натяжения расплава.

Приведены экспериментальные значения изменения краевого угла смачивания от температуры и состава для оксидного расплава (рис. 2), образующегося при сварке электродами МР-3:

$t, ^\circ\text{C}$	1220	1240	1260	1300	1400
$\Theta, \text{град}$	50	45	40	33	27

Таким образом, поверхностное натяжение оксидного расплава промышленных марок электродов имеет практически одинаковое значение и составляет 360—390 мДж/м<sup>2</sup> при 1400 °С. Краевой угол смачивания оксидного расплава электродов МР-3 при увеличении температуры от 1220 до 1400 °С уменьшается на 54 %.

1. Попель С. И., Никитин Ю. П., Иванова С. М. Графики для расчета поверхностного натяжения по размерам капли. Свердловск : Урал. политехн. ин-т, 1961.— 12 с.
2. Попель С. И. Теория металлургических процессов.— М., 1971.— 132 с.— Итоги науки и техники / ВИНИТИ.
3. Кретов А. И., Мойсов Л. П., Бурылев Б. П. Термодинамическая активность компонентов сварочных шлаков.— Автомат. сварка, 1982, № 1, с. 72—73.

Краснодар. филиал  
ВНИИМонтажспецстроя

Получено 11.07.83

УДК 548.2+532.64

Н. Т. Гладких, С. В. Дукаров,  
С. В. Степанова, Л. И. Мильто

### ОПРЕДЕЛЕНИЕ СМАЧИВАЕМОСТИ ОСТРОВКОВЫМИ ПЛЕНКАМИ РАЗЛИЧНЫХ ПОДЛОЖЕК

Для определения краевого угла смачивания  $\Theta$  жидкостями твердых поверхностей [1] в случае малых капель наиболее удобен метод покоящейся капли, основанный на измерении геометрических параметров капли. Для малых капель ( $R < 100$  мкм), когда влиянием силы тяжести можно пренебречь, форма капли представляет собой сферический сегмент. В этом случае для нахождения  $\Theta$  достаточно измерить любые две из трех величин: радиус кривизны поверхности капли  $R$ , диаметр ее основания  $d$  и высоту  $h$  (рис. 1, а). Краевой угол определяется соотношением

$$\Theta = 2\arctg \frac{2h}{d} = \arccos \left( 1 - \frac{h}{R} \right) = \begin{cases} \arcsin \frac{d}{2R} & \text{при } \Theta < \frac{\pi}{2}, \\ 180^\circ - \arcsin \frac{d}{2R} & \text{при } \Theta > \frac{\pi}{2}. \end{cases} \quad (1)$$

Для островковых пленок используются различные методы, позволяющие измерить три или две из указанных величин. Так, метод скола [2] позволяет определить  $\Theta$  с помощью оптического микроскопа через  $h$ ,  $d$  и  $R$  при  $\Theta > \pi/2$  или  $h$  и  $d$  при  $\Theta < \pi/2$ . При этом измеряются капли, находящиеся на краю образца.

Те же параметры можно измерить, исследуя профили капель на электронно-микроскопических снимках по методу свертки [3]. Метод фотометрирования [4], применяющийся при  $\Theta > \pi/2$  в случае прозрачных для электронов частиц, позволяет найти значения  $R$  и  $d$ . В этих методах необходимо использовать в качестве подложек прозрачные для электронов пленки, что

не всегда возможно, кроме того, толщина пленки может влиять на угол смачивания.

В настоящей работе предлагаются два новых метода измерения углов смачивания.

**Метод наклонного наблюдения** позволяет применять в качестве подложки любую гладкую поверхность. Данный метод отличается от изложенных выше расположением подложки с частицами таким образом, что нормаль к ней составляет угол  $\alpha$  с оптической осью микроскопа. При этом капли имеют вид, представленный на рис. 1, б. Для определения  $\Theta$  необходимо

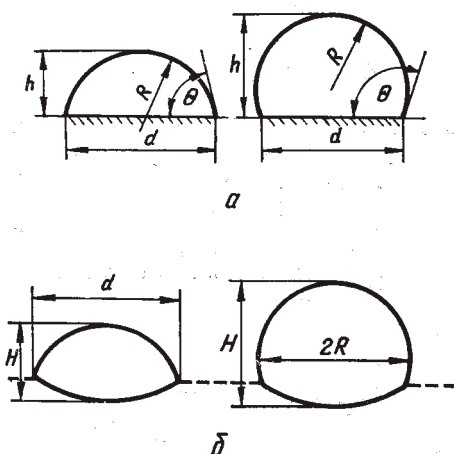


Рис. 1. Схематическое изображение частиц на твердой подложке:

а — сечение капель на подложке; б — капли на наклонном образце.

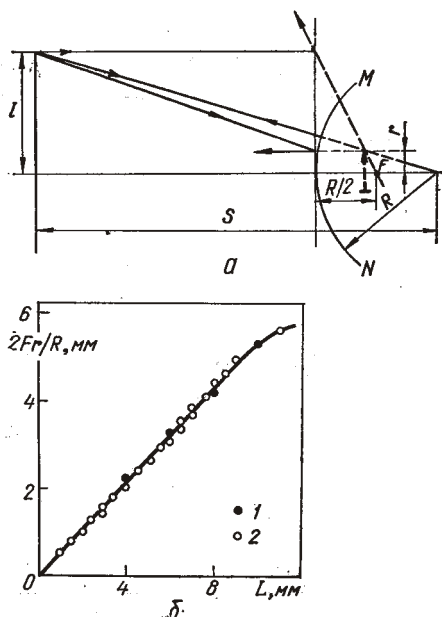


Рис. 2. К определению угла смачивания методом зеркального отражения:

а — ход лучей при определении радиуса кривизны сферической поверхности; б — определение постоянной А для объективов с различными фокусными расстояниями (1 —  $F=8,4$  мм; 2 —  $F=4,3$  мм).

измерить «кажущуюся» высоту частицы  $H$  и ее радиус кривизны  $R$  (или  $\alpha$  в случае  $\Theta < \frac{\pi}{2}$ ). Угол смачивания связан с  $R$  и  $\alpha$  (или  $d$ ,  $H$  и  $\alpha$ ) соотношением

$$H = R(1 + \sin(\Theta - \alpha)) = \frac{d}{2} \frac{1 + \sin(\Theta - \alpha)}{\sin \Theta}. \quad (2)$$

Зависимость  $\Theta$  от  $d$ ,  $H$  и  $\alpha$  имеет громоздкий вид, поэтому для вычисления  $\Theta$  в случае  $\Theta < \frac{\pi}{2}$  удобно использовать номограмму, на которой в координатах  $H/d$  —  $\Theta$  нанесено семейство кривых, соответствующих различным значениям  $\alpha$ . Методом можно определить  $\Theta$  для частиц размером более 1 мкм. При выборе угла наклона следует учитывать увеличение погрешности с уменьшением величины  $\alpha$ , а также то, что  $\alpha > |\Theta - 90^\circ|$ .

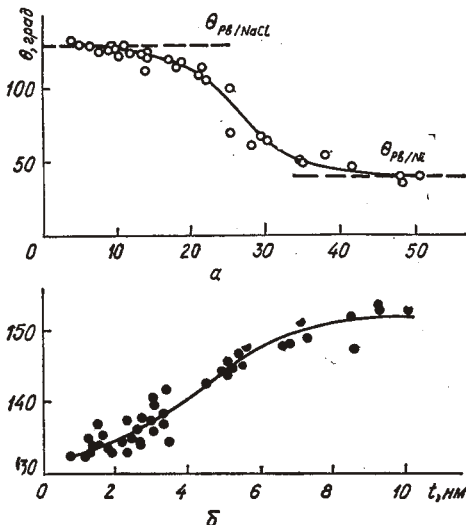
**Метод зеркального отражения** применим для частиц с  $\Theta < \pi/2$  и не требует исследования профиля капли. Угол смачивания вычисляется через диаметр основания и радиус кривизны частицы. Величина  $d$  измеряется непосредственно при наблюдении частиц на подложке в оптическом микроскопе, а  $R$  находится по измерению изображения удаленного предмета, даваемого зеркальной сферической поверхностью капли [5]. Из геометрической оптики следует, что радиус кривизны зеркала  $R$ , расстояние до удаленного предмета  $S$ , размер предмета  $2l$  и его изображения  $2r$  (рис. 2, а) связаны соотношением

$$R = 2Sr/l \text{ при } S \gg R. \quad (3)$$

Методом зеркального отражения можно определить угол смачивания при  $\Theta < \pi/2$  на прозрачных подложках [5] в проходящем и отраженном свете, а также на непрозрачных в отраженном свете. Метод был реализован на металлографическом микроскопе МИМ-8, что позволило определять  $\Theta$  на непрозрачных подложках. В качестве удаленного предмета использовалась апертурная диафрагма осветительной системы микроскопа. В этом случае выполняется соотношение

$$R = 2rF/AL; \quad (4)$$

где  $F$  — фокусное расстояние объектива,  $L$  — диаметр апертурной диафрагмы,  $A$  — постоянная.



Из уравнений (1) и (4) следует, что

$$\Theta = \arcsin \left( \frac{d}{2r} \frac{AL}{2F} \right). \quad (5)$$

Так как  $L$  и  $F$  известны, то, зная  $A$  и измеряя  $d$  и  $r$ , можно определить  $\Theta$ . Для нахождения постоянной  $A$  были измерены величины  $R$  и  $r$  для частиц с  $\Theta > \pi/2$  (в этом случае  $2R = d$ ) при различных значениях диафрагмы  $L$  и с различными объективами (рис. 2, б). Коэффициент наклона прямой дает значение постоянной прибора  $A = 0,53$ .

Указанным методом определялся угол  $\Theta$  для частиц размером 1—100 мкм в интервале  $40^\circ < \Theta < 70^\circ$ . Нижний предел  $\Theta$  обусловлен несферичностью капель при хорошем смачивании, верхний — увеличением погрешности при приближении угла  $\Theta$  к  $90^\circ$ .

Изложенные методы были использованы для определения углов смачивания малыми каплями свинца тонких пленок никеля на подложке из монокристалла NaCl (грань (001)) и малыми каплями олова пленок углерода переменной толщины, нанесенных на сколы KCl. Образцы для исследований пропарировались конденсацией в вакууме:  $10^{-7}$ — $10^{-8}$  мм рт. ст. для системы Pb—Ni—NaCl и  $10^{-5}$ — $10^{-6}$  для Sn—C—KCl. Методика приготовления образцов была следующей. На сколы монокристаллов наносилась клинообразная пленка никеля или углерода, а затем конденсировался исследуемый металл. Температура подложки во время эксперимента  $380^\circ\text{C}$  для Pb—Ni и  $250^\circ\text{C}$  для Sn—C, что обеспечивало конденсацию Ni и C в твердую, а Pb и Sn в жидкую фазу. Углы смачивания измерялись на закристаллизовавшихся частицах в оптическом микроскопе МИМ-8 с помощью методов скола, наклонного наблюдения и зеркального отражения. Значения  $\Theta$ , полученные с использованием различных методик, в пределах погрешности  $\pm 3^\circ$  хорошо совпадают.

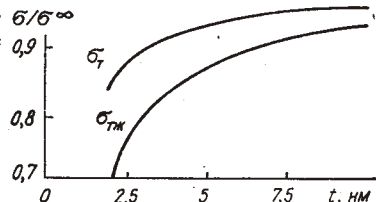


Рис. 4. Зависимость поверхностной энергии углеродной пленки  $\sigma_t$  и межфазной энергии границы олово — углерод  $\sigma_{\gamma}$  от толщины пленки углерода в системе Sn—C—KCl.



Рис. 3. Зависимость угла смачивания, от толщины промежуточного слоя в системах Pb—Ni—NaCl (а) и Sn—C—KCl (б).

Результаты измерений углов смачивания в зависимости от толщины промежуточной пленки  $t$  представлены на рис. 3. Видно, что угол  $\Theta$  изменяется с толщиной подслоя в пределах крайних значений:  $\Theta_{\text{Pb}/\text{NaCl}} - \Theta_{\text{Pb}/\text{Ni}}$  в системе Pb—Ni—NaCl и  $\Theta_{\text{Sn}/\text{KCl}} - \Theta_{\text{Sn}/\text{C}}$  в системе Sn—C—KCl. При этом в системе Pb—Ni—NaCl смачиваемость изменяется в интервале толщин пленки никеля 10—40 нм, а в системе Sn—C—KCl — в интервале 2,5—7 нм. Полученные зависимости могут быть обусловлены изменением поверхностной энергии пленки промежуточного слоя [6], несплошностью этой пленки [7, 8], растворением материала пленки в жидким металле. Так, в системе Pb/Ni существует незначительная растворимость. И если пленка никеля первоначально была сплошной, что подтверждается электронно-микроскопическими исследованиями, то в процессе растворения, происходившего неравномерно (вдоль границ зерен и т. д.), появилась гетерогенность подложки, обусловившая изменение угла  $\Theta$ .

В системе Sn/C растворение при данной температуре отсутствует. Из электронно-микроскопических наблюдений видно, что пленки углерода вплоть до толщин порядка 2 нм сплошные. Отсюда следует, что с уменьшением угла смачивания изменяется поверхностная энергия пленки углерода при уменьшении ее толщины. Таким образом, рис. 3, б отражает в соответствии с формулой Юнга

$$\cos \Theta = \frac{\sigma_t - \sigma_{tjk}}{\sigma_{jk}}, \quad (6)$$

где  $\sigma_{jk}$  — поверхностная энергия жидкого олова, изменение разности поверхностной энергии углеродной пленки  $\sigma_t$  и межфазной энергии границы олово — углерод  $\sigma_{tjk}$ . По полученным результатам определяется поверхностная энергия углеродной пленки как функции ее толщины. Согласно работе [4], межфазная энергия границы твердое тело — жидкость изменяется с величиной размера пленки примерно в два раза сильнее, чем энергия границы конденсированной фазы — пар. Если принять [4, 6]

$$\sigma_t = \sigma_t^\infty (1 - a/t), \quad \sigma_{tjk} = \sigma_{tjk}^\infty (1 - 2a/t), \quad (7)$$

где  $\sigma_t^\infty$  и  $\sigma_{tjk}^\infty$  — поверхностная и межфазная энергии, соответствующие толстой пленке углерода;  $a$  — постоянная, то уравнение Юнга (6) можно преобразовать следующим образом:

$$\cos \Theta = \cos \Theta^\infty - \frac{a(\sigma_t^\infty - 2\sigma_{tjk}^\infty)}{\sigma_{jk}} \frac{1}{t}, \quad (8)$$

где  $\Theta^\infty$  — угол смачивания оловом массивного углерода.

Полученные данные в координатах  $\cos \Theta - 1/t$  дают прямую с угловым коэффициентом  $k = \frac{a(\sigma_t^\infty - 2\sigma_{tjk}^\infty)}{\sigma_{jk}}$ , из которого можно найти значение постоянной  $a$ , соответствующей толщине граничного слоя пленка—вакуум. Отклонение от линейности в области малых толщин, вероятно, связано с несплошностью углеродной пленки. Используя литературные значения [4] для поверхностных энергий  $\sigma_{jk} = 530 \text{ мДж/м}^2$ ,  $\sigma_{tjk}^\infty = 574 \text{ мДж/м}^2$ ,  $\sigma_t^\infty = 110 \text{ мДж/м}^2$  [4], можно определить параметр  $a = 0,29 \text{ нм}$  и рассчитать поверхностную энергию углеродной пленки, находящейся на поверхности KCl, и межфазную энергию границы олово—углерод как функцию толщины. Функции  $\frac{\sigma_t}{\sigma_t^\infty}(t)$  и  $\frac{\sigma_{tjk}}{\sigma_{tjk}^\infty}(t)$  приведены на рис. 4. Видно, что для углеродной пленки на KCl поверхностная и межфазная энергии существенно уменьшаются при толщине пленки менее 5 нм.

Таким образом, предложены два новых метода измерения краевых углов смачивания: метод наклонного наблюдения и метод зеркального отражения. На основании измерения углов смачивания оловом пленки углерода на KCl установлено, что поверхностная энергия углеродной пленки на KCl уменьшается с уменьшением ее толщины.

- Найдич Ю. В. Контактные явления в металлических расплавах.—Киев : Наук. думка, 1972.—196 с.
- Определение смачиваемости подложек островковыми конденсатами / Л. С. Палатник, Н. Т. Гладких, М. Н. Набока, Н. К. Мишнева.—Завод. лаб., 1973, 39, № 9, с. 1098—1100.
- Шалдерван А. И., Находкин Н. Г. Исследование профиля тонких конденсированных пленок некоторых веществ.—Физика твердого тела, 1970, 12, № 7, с. 2188—2190.
- Гладких Н. Т., Ларин В. И., Усатенко О. В. Размерный эффект при смачивании.—Физика и химия обраб. материалов, 1979, № 2, с. 96—103.
- Анкилов А. Н., Бородулин А. И. Измерение размеров капель жидкых туманов методом сферического зеркала.—Коллоид. журн., 1978, 40, № 2, с. 195—200.
- Задумкин С. Н., Хоконов Х. Б. Поверхностная энергия тонких металлических пленок.—Физика металлов и металловедение, 1962, 13, № 5, с. 658—662.
- Смачиваемость в системе металлический расплав — тонкая металлическая пленка — неметаллическая подложка / Ю. В. Найдич, Б. Д. Костюк, Г. А. Колесниченко, С. С. Шайкевич.—В кн.: Физическая химия конденсированных фаз, сверхтвердых материалов и их границ раздела. Киев : Наук. думка, 1975, с. 15—27.
- Костюк Б. Д., Колесниченко Г. А., Шайкевич С. С. Смачивание расплавом олова пленок углерода и окиси алюминия, нанесенных на металлические поверхности.—Адгезия расплавов и пайка материалов, 1980, вып. 6, с. 37—39.

Харьк. гос. ун-т им. А. М. Горького

Получено 16.09.82  
После доработки —  
22.04.83

УДК 541.532.614

Ю. А. Минаев, С. Б. Фадеев

## СВЯЗЬ ПОВЕРХНОСТНЫХ СВОЙСТВ НИКЕЛЕВЫХ СПЛАВОВ С МАКРОСТРУКТУРОЙ ОТЛИВОК

Поверхностное модифицирование материала оболочковой формы является одним из распространенных приемов, используемых для регулирования макроструктуры сплавов. При анализе причин влияния модификатора на макроструктуру сплава в настоящей работе исходили из влияния энергетических характеристик поверхностей раздела на работу образования зародышей [1]. С уменьшением влияния поверхностной энергии увеличивается вероятность образования зародышей и, как следствие, изменяется макроструктура.

С целью получения информации об изменении энергетических характеристик поверхности при нанесении модификаторов изучены равновесные термодинамические свойства: поверхностное натяжение  $\sigma$ , равновесный краевой угол смачивания  $\Theta$ , работа адгезии  $W_a$  и кинетика растекания сплава ЖС-6У по материалам литейной формы. Последнее позволяет получить рекомендации для установления таких оптимальных параметров процесса, как скорость заполнения литейной формы и время выдержки залитой формы под вакуумом.

Поверхностные свойства и кинетику растекания сплавов системы Ni—Ti и сплава ЖС-6У по материалам литейной формы изучали методом свободно сидящей капли при опосредованном индукционном нагреве [2]. Опыты предшествовали часовой отжиг образцов при 1100—1200 °C и дегазация системы в вакууме  $5 \cdot 10^{-5}$  мм рт. ст. Измерения проводили в среде гелия в. ч. с дополнительной очисткой в конечной стадии молекулярными ситами и активированным углем при температуре жидкого азота. При изучении кинетики растекания сплава в качестве равновесного краевого угла смачивания  $\Theta$  принимали стабилизированное во времени значение видимого краевого угла  $\Theta_t$ , определяемое по кинетическим кривым для  $\Theta_t$  и диаметра  $d$  растекающейся капли (рис. 1).

В процессе дальнейшей выдержки образуется пленка вокруг капли типа матового пятна [3].

При рассмотрении кинетики растекания (рис. 1) опирались на то, что движущая сила процесса определяется неравенством поверхностных натя-